

Резонансные процессы в активной среде

Д.А. Румянцев*, Д.М. Шленев** А.А. Ярков***

Ярославский государственный университет им. П.Г. Демидова, Россия

В работе рассмотрены различные квантовые процессы с учетом резонанса на виртуальном фермионе.

*E-mail: rda@uniyar.ac.ru

**E-mail: ultrasickdoom@gmail.com

***E-mail: a12l@mail.ru

1 Введение

Нейтронные звезды, обладая набором экстремальных характеристик, являются природными физическими лабораториями и одними из самых интересных объектов, известных в науке. Особое внимание ученых привлекают радиопульсары и магнитары, обладающие магнитными полями колоссальной напряженности, к которой очень сложно приблизиться в земных условиях. У магнитного поля имеется характерное значение, называемое критическим, $B_e = m_e^2/e \simeq 4.41 \times 10^{13}$ Гс¹, при приближении к которому становится необходимым учитывать квантовые эффекты при движении в нем частиц. В радиопульсарах с магнитными полями порядка 10^{12} Гс и магнитарах – до 10^{16} Гс [1–3] такие условия выполняются.

Кроме сильных магнитных полей, в магнитосфере как радиопульсаров, так и магнитаров присутствует достаточно горячая и плотная электрон-позитронная плазма [1]. Магнитное поле и плазма составляют две компоненты внешней активной среды, присутствие которой значительно изменяет характеристики протекающих в ней микропроцессов. Во-первых, активная среда может изменять закон дисперсии находящихся в ней частиц, что приводит к изменению кинематики процессов и вследствие чего могут открываться каналы реакций, которые запрещены или сильно подавлены в вакууме. Во-вторых, активная среда влияет на амплитуды процессов, в результате чего они могут приобретать резонансный характер. Именно эта составляющая влияния внешней активной среды рассматривается в данном обзоре. Вследствие резонанса вклад микропроцессов в макроскопические характеристики астрофизических процессов, такие как светимость и скорость изменения количества частиц, может многократно увеличиваться.

В сильном магнитном поле поперечная составляющая импульса фермиона квантуется. В таком случае энергия фермиона определяется так называемым

¹В работе используется естественная система единиц: $\hbar = c = k = 1$, m_e – масса электрона, $e > 0$ – элементарный заряд.

уровнем Ландау n и проекцией импульса вдоль магнитного поля p_z :

$$E_n = \sqrt{m_f^2 + p_z^2 + 2|e_f|Bn}, \quad (1)$$

где e_f и m_f - заряд и масса фермиона. Состояние с $n = 0$, в котором фермион движется вдоль силовой линии магнитного поля, называется основным уровнем Ландау.

Можно выделить несколько ситуаций в иерархии параметров среды: магнитного поля, температуры T , химического потенциала μ и энергии фермионов и фотонов, участвующих в реакциях. Упрощенное условие магнитодоминирующей среды является тот факт, что значение магнитного поля во много раз превышает параметры среды $eB \gg \mu^2, T^2$, где μ - химический потенциал электронов, а T - температура плазмы. Более строгое соотношение в пределе сильного поля, которое можно найти в работе [4], строится на том, что плотность энергии магнитного поля во много больше плотности энергии электронов позитронного газа:

$$\frac{B^2}{8\pi} \gg \frac{\pi^2(n_{e^-} - n_{e^+})^2}{eB} + \frac{eBT^2}{12}, \quad (2)$$

где n_{e^-} и n_{e^+} - концентрации электронов и позитронов плазмы. Такие условия могут, в частности, реализовываться в моделях вспышечной активности источников мягких повторяющихся гамма-всплесков (SGR) [1, 5], которые, как показывают недавние наблюдения, можно отождествить с магнитарами [6–11].

Даже в магнитарных полях условие 2, при котором магнитное поле является доминирующим параметром, перестает выполняться при высоких значениях плотности плазмы $\rho \geq 10^8$ г/см³. Такая плотность может достигаться в границе между внешней и внутренней корой магнитара. В результате реакции, в которых имеются фермионы в промежуточном состоянии, могут приобретать резонансный характер. Это происходит вследствие того, что начинают возбуждаться высшие уровни Ландау виртуальных фермионов. Они становятся реальными с определенным законом дисперсии, садятся на массовую

поверхность. В этом состоянии они являются нестабильными и распадаются за время, обратно пропорциональное вероятности их перехода на низшие уровни Ландау. Эффективность реакции при этом заметно увеличивается, что может иметь наблюдаемые астрофизические следствия.

Резонанс на виртуальном фотоне в сильно замагниченной плазме связан непосредственно с поляризационным оператором фотона в активной среде. Резонанс на фотоне наблюдается аналогичным образом: в активной среде поляризационный оператор фотона имеет реальную часть, которую можно рассматривать как эффективную массу фотона. В кинематической области, в которой квадрат 4-импульса виртуального фотона будет равен реальной части его поляризационного оператора, виртуальный фотон станет реальным и нестабильным.

Настоящая статья организована следующим образом. В Разделе 2 обсуждаются различные методы представления решения уравнения Дирака во внешнем магнитном поле. В разделе 3 рассматриваются радиационные поправки в магнитном поле к массовому оператору частиц в промежуточном состоянии и получается выражение для пропагатора. Раздел 4 посвящен различным двухвершинным процессам, в которых может реализовываться резонанс на виртуальном фермионе и/или фотоне. В Разделе 5 описываются сингулярности в фазовых объемах одновершинных процессов и методы их устранения.

2 Представления решений уравнения Дирака во внешнем магнитном поле

В этом разделе обсудим влияние активной среды на волновые функции присутствующих в ней частиц: фермионов и фотонов. В случае фермионов искомые нами волновые функции являются решением уравнения Дирака в присутствии внешнего постоянного однородного магнитного поля, направленного вдоль оси z :

$$(i\partial_\mu\gamma^\mu + e_f A_\mu\gamma^\mu - m_f)\Psi_{p,n}^s(X) = 0, \quad (3)$$

где A_μ – 4-вектор потенциала электромагнитного поля, который в калибровке Ландау имеет вид $A^\mu = (0, 0, xB, 0)$, $X^\mu = \{x^0, x^1, x^2, x^3\}$. Решением этого уравнения является набор собственных функций любого оператора, который коммутирует с гамильтонианом Дирака во внешнем магнитном поле: $H = \gamma_0(\boldsymbol{\gamma}\mathbf{P}) + m_f\gamma_0 + e_f A_0$, где $\mathbf{P} = -i\nabla - e_f\mathbf{A}$. Существует несколько представлений решений уравнения Дирака, из них можно выделить два наиболее распространенных подхода, подробное описание которых имеется в работах [12–17]. При первом из них, предложенным Джонсоном и Липпманом [18], решения выбираются как собственные функции оператора обобщенной спиральности, $T_0 = \frac{1}{m_f}(\boldsymbol{\Sigma}\mathbf{P})$, где $\boldsymbol{\Sigma} = -\gamma_0\boldsymbol{\gamma}\gamma_5$ – трехмерный оператор спина. При этом две верхние компоненты биспиноров соответствуют состояниям фермиона с проекцией спина на направление магнитного поля, равной $1/2$ и $-1/2$.

Другой подход предложен Соколовым и Терновым [19]. Он состоит в выборе волновых функций как собственных функций ковариантного оператора μ_z , который строится следующим образом:

$$\mu_z = m_f \Sigma_z - i\gamma_0\gamma_5 [\boldsymbol{\Sigma} \times \mathbf{P}]_z . \quad (4)$$

Его можно получить непосредственно из введенного в [19] обобщенного оператора спина, являющегося тензором третьего ранга, который можно записать в координатном представлении следующим образом:

$$F_{\mu\nu\lambda} = -\frac{i}{2} (P_\lambda \gamma_0 \sigma_{\mu\nu} + \gamma_0 \sigma_{\mu\nu} P_\lambda) , \quad (5)$$

где $\sigma_{\mu\nu} = (\gamma_\mu\gamma_\nu - \gamma_\nu\gamma_\mu)/2$, и $P_\lambda = i\partial_\lambda - e_f A_\lambda = (i\partial_0 - e_f A_0, -i\nabla - e_f\mathbf{A})$ – оператор обобщенного 4-импульса. Заметим, что в работе [19] ковариантные билинейные формы были построены из матриц Дирака в обкладках биспиноров ψ^\dagger и ψ , тогда как в современной литературе (см., например [20]) билинейные формы строятся из матриц Дирака в обкладках биспиноров $\bar{\psi}$ и ψ . Из пространственных компонент $F_{\mu\nu 0}$ оператора (5) можно построить

следующий векторный оператор:

$$\mu_i = -\frac{1}{2} \varepsilon_{ijk} F_{jk0} , \quad (6)$$

где ε_{ijk} – тензор Леви-Чивита. Построенный таким образом объект (6) имеет смысл оператора поляризации [12, 19]. Его можно представить в виде:

$$\boldsymbol{\mu} = m_f \boldsymbol{\Sigma} + i\gamma_0 \gamma_5 [\boldsymbol{\Sigma} \times \boldsymbol{P}] . \quad (7)$$

В нерелятивистском пределе оператор (7), отнесенный к квадрату массы фермиона: $\boldsymbol{\mu}/m_f^2$, переходит в обычный оператор Паули для магнитного момента [21], который имеет явную физическую интерпретацию оператора спина.

Решения уравнения Дирака в представлении Джонсона и Липпмана широко используются в литературе (см., например, [22–27]). Однако эти функции обладают рядом недостатков, которые проявляются при расчете конкретных характеристик процессов с двумя и более вершинами. Так, лоренц-инвариантностью будет обладать только квадрат модуля амплитуды, просуммированный по всем поляризациям фермиона, а не парциальные вклады в него. Более того, как было показано в работах [28, 29], в области резонанса использование функций Джонсона и Липпмана приводит к относительной ошибке в расчетах физических величин порядка $O(B/B_e)$ в древесном приближении и $O[(B/B_e)^2]$ в следующих порядках разложения, что становится существенным при магнитарных магнитных полях.

С другой стороны, использование функций, предложенных Соколовым и Терновым, правильно описывает сечение процессов вблизи резонанса, а также позволяет найти парциальные вклады в амплитуду каждого поляризационного состояния частиц в отдельности, которые будут иметь лоренц-инвариантную структуру. По этой причине далее в этом разделе приведем подробное их описание.

Уравнение для собственных функций оператора (4) имеет следующий вид:

$$\mu_z \Psi_{p,n}^s(X) = s M_n \Psi_{p,n}^s(X) , \quad (8)$$

где квантовое число $s = \pm 1$ определяет поляризационные состояния фермиона в постоянном однородном магнитном поле.

Как уже упоминалось во Введении, состояния фермиона квантуются по энергетическим состояниям, которые называются уровнями Ландау:

$$E_n = \sqrt{p_z^2 + M_n^2}, \quad n = 0, 1, \dots \quad (9)$$

Здесь введено обозначение для эффективной массы фермиона в магнитном поле $M_n = \sqrt{2\beta n + m_f^2}$, где $\beta = |e_f|B$. Каждое состояние является бесконечно вырожденным по p_z и дважды вырожденным по s , кроме состояния $n = 0$, где возможно лишь состояние с $s = -1$. Решения уравнения Дирака (3) могут быть представлены следующим образом:

$$\Psi_{p,n}^s(X) = \frac{e^{-i(E_n X_0 - p_y X_2 - p_z X_3)} U_n^s(\xi)}{\sqrt{4E_n M_n (E_n + M_n)(M_n + m_f) L_y L_z}}, \quad (10)$$

где

$$\xi(X_1) = \sqrt{\beta} \left(X_1 - \eta \frac{p_y}{\beta} \right). \quad (11)$$

Далее, используя обозначение для определения знака заряда фермиона $\eta = e_f/|e_f|$, становится удобным представить биспиноры $U_n^s(\xi)$ в виде отдельной суммы биспиноров соответствующих положительным и отрицательным зарядам $U_{n,\eta}^s(\xi)$:

$$U_n^s(\xi) = \frac{1-\eta}{2} U_{n,-}^s(\xi) + \frac{1+\eta}{2} U_{n,+}^s(\xi), \quad (12)$$

где

$$U_{n,-}^-(\xi) = \begin{pmatrix} -i\sqrt{2\beta n} p_z V_{n-1}(\xi) \\ (E_n + M_n)(M_n + m_f) V_n(\xi) \\ -i\sqrt{2\beta n} (E_n + M_n) V_{n-1}(\xi) \\ -p_z (M_n + m_f) V_n(\xi) \end{pmatrix}, \quad (13)$$

$$U_{n,-}^+(\xi) = \begin{pmatrix} (E_n + M_n)(M_n + m_f) V_{n-1}(\xi) \\ -i\sqrt{2\beta n} p_z V_n(\xi) \\ p_z (M_n + m_f) V_{n-1}(\xi) \\ i\sqrt{2\beta n} (E_n + M_n) V_n(\xi) \end{pmatrix}, \quad (14)$$

$$U_{n,+}^{-}(\xi) = \begin{pmatrix} i\sqrt{2\beta n} p_z V_n(\xi) \\ (E_n + M_n)(M_n + m_f)V_{n-1}(\xi) \\ i\sqrt{2\beta n}(E_n + M_n)V_n(\xi) \\ -p_z(M_n + m_f)V_{n-1}(\xi) \end{pmatrix}, \quad (15)$$

$$U_{n,+}^{+}(\xi) = \begin{pmatrix} (E_n + M_n)(M_n + m_f)V_n(\xi) \\ i\sqrt{2\beta n} p_z V_{n-1}(\xi) \\ p_z(M_n + m_f)V_n(\xi) \\ -i\sqrt{2\beta n}(E_n + M_n)V_{n-1}(\xi) \end{pmatrix}, \quad (16)$$

$V_n(\xi)$ – нормированные функции гармонического осциллятора, которые следующим образом выражаются через полиномы Эрмита $H_n(\xi)$ [30]:

$$V_n(\xi) = \frac{\beta^{1/4} e^{-\xi^2/2}}{\sqrt{2^n n!} \sqrt{\pi}} H_n(\xi). \quad (17)$$

Далее эти решения уравнения Дирака (10) будут использованы для получения пропагаторов фермионов в разделе 3.

3 Представление пропагаторов частиц с учетом мнимой части

3.1 Пропагатор фермиона

При рассмотрении любого взаимодействия в квантовой теории поля предполагается, что между начальными и конечными состояниями существует обмен виртуальными частицами. "Виртуальность" частицы означает, что ее энергия и импульс не связаны релятивистским соотношением (9). Промежуточное состояние в формализме собственного времени Фока [31] описывается уравнением Дирака с δ -функцией в правой части:

$$(i\partial_\mu \gamma^\mu + e_f A_\mu \gamma^\mu - m_f) S(X, X') = \delta(X - X'). \quad (18)$$

Его решение $S(X, X')$ называется пропагатором. В этом разделе мы опишем представление пропагаторов фермионов во внешнем магнитном поле с учетом радиационных поправок к массовому оператору и покажем, как может реализовываться резонанс в квантовых процессах, содержащих фермионы в промежуточном состоянии.

Решения уравнения (18) имеют достаточно громоздкий вид. Поэтому удобно воспользоваться различными приближениями. В относительно сильных полях для частиц, обладающих высоким удельным зарядом, $|e_f|/m_f$, удобно рассматривать пропагатор в виде разложения по уровням Ландау:

$$S(X, X') = \sum_{n=0}^{\infty} \sum_{s=\pm 1} S_n^s(X, X'). \quad (19)$$

Для построения пропагатора можно воспользоваться полевыми операторами:

$$\Psi(X) = \sum_{n,p_y,p_z,s} (a_{n,p}^s \Psi_{n,p,+}^s(X) + b_{n,p}^{\dagger s} \Psi_{n,p,-}^s(X)), \quad (20)$$

где a – оператор уничтожения фермиона, b^\dagger – оператор рождения фермиона, Ψ_+ и Ψ_- соответствуют решениям уравнения Дирака с положительной и отрицательной энергией соответственно. Стандартным образом пропагатор вычисляется как разность хронологически упорядоченного и нормально упорядоченного произведения полевых операторов:

$$S(X, X') = T(\Psi(X)\bar{\Psi}(X')) - \mathcal{N}(\Psi(X)\bar{\Psi}(X')). \quad (21)$$

Подставляя точные решения уравнения Дирака (10) и вводя для удобства новое обозначение:

$$\phi_{p,n}^s(X_1) = \frac{U_n^s[\xi(X_1)]}{\sqrt{2M_n(E_n + M_n)(M_n + m_f)}}, \quad (22)$$

где U_n^s определяется формулой (12), можно представить вклад в разложение пропагатора от уровня Ландау n и поляризационного состояния s следующим

образом:

$$S_n^s(X, X') = \int \frac{dp_0 dp_y dp_z}{(2\pi)^3} \times \quad (23)$$

$$\times \frac{e^{-ip_0(X_0-X'_0)+ip_y(X_2-X'_2)+ip_z(X_3-X'_3)}}{p_0^2 - p_z^2 - M_n^2 - \mathcal{R}_\Sigma^s(p) + i\mathcal{I}_\Sigma^s(p)} \phi_{p,n}^s(X_1) \bar{\phi}_{p,n}^s(X'_1),$$

где $\mathcal{R}_\Sigma^s(p)$ и $\mathcal{I}_\Sigma^s(p)$ – реальная и мнимая части массового оператора фермиона. Для их получения требуется вычислить радиационные поправки к массе фермиона в замагниченной плазме. Реальная часть массового оператора $\mathcal{R}_\Sigma^s(p)$ определяет изменение закона дисперсии фермиона в присутствии замагниченной плазмы. В слабых магнитных полях, где выполняется $B \ll B_e$, но среду ещё можно рассматривать как поледоминирующую, она определяется отношением [32]:

$$\mathfrak{R}_\Sigma^s(p) = \frac{4\alpha m_f}{3\pi} \varkappa^2 \left[\ln \varkappa^{-1} + C + \frac{1}{2} \ln 3 - \frac{33}{16} \right], \quad \varkappa \ll 1, \quad (24)$$

где $C = 0.577\dots$ - постоянная Эйлера, динамический параметр \varkappa вводится следующим образом:

$$\varkappa = \frac{1}{m_f B_e} [-(F_{\mu\nu} p_\nu)^2]^{1/2}. \quad (25)$$

Для случая сильного магнитного поля, $B \gtrsim B_e$, без учета плазмы лидирующий вклад в сдвиг массы фермиона, находящегося на основном уровне Ландау, описывается квадратом логарифмической функции [33]:

$$\mathfrak{R}_\Sigma^s(p) = \frac{\alpha}{4\pi} m_f \ln^2(2\beta/m_f^2). \quad (26)$$

Из (24) и (26) следует, что даже для достаточно больших значений магнитного поля вплоть до 10^{16} Гс эта поправка к массе фермиона имеет величину порядка постоянной тонкой структуры α [13, 14] и является несущественной.

Резонанс на виртуальном фермионе будет наблюдаться, когда в знаменателе пропагатора (23) реальная часть обращается в ноль. Тогда виртуальная

частица становится реальной, то есть приобретает определенный закон дисперсии (9). Анализ кинематики показывает, что это возможно только тогда, когда виртуальный фермион занимает один из высших уровней Ландау, $n > 0$. Частица при этом является нестабильной, и время ее жизни, в нерезонансной области предполагающееся бесконечно большим, определяется мнимой частью массового оператора, $\mathcal{I}_\Sigma^s(p)$, учет которой становится необходимым. Она может быть получена с помощью оптической теоремы и представлена в следующем виде [34, 35]:

$$\Im_\Sigma^s(p) = -\frac{1}{2} p_0 \Gamma_n^s, \quad (27)$$

где Γ_n^s – полная ширина поглощения фермиона, находящегося в поляризационном состоянии s и занимающего n -й уровень Ландау. Полная ширина изменения состояния фермиона может быть выражена через ширину рождения фермиона [36]:

$$\Gamma_n^s = \Gamma_n^{(abs)s} + \Gamma_n^{(cr)s} \simeq \Gamma_n^{(cr)s} \left[1 + e^{(E_n - \mu)/T} \right], \quad (28)$$

где $\Gamma_n^{(abs)s}$ и $\Gamma_n^{(cr)s}$ – ширины поглощения и рождения фермиона соответственно. Введенный таким образом пропагатор с учетом конечной ширины изменения состояния фермиона позволяет корректно рассчитывать сечения квантовых процессов в резонансной области.

3.2 Пропагатор фотона

Пропагатор фотона определяется решением следующего волнового уравнения:

$$(g_{\alpha\rho} \partial_\mu^2 - \partial_\alpha \partial_\rho) G^\rho{}_\beta(x) + \int d^4x' \mathcal{P}_{\alpha\rho}^{(\lambda)}(x - x') G^\rho{}_\beta(x) = g_{\alpha\beta} \delta^4(x),$$

где $\mathcal{P}_{\alpha\beta}^{(\lambda)}(x - x')$ – поляризационный оператор фотона в магнитном поле и плазме. Решения уравнения (29) удобно представить в виде разложения по собственным векторам и собственным значениям поляризационного оператора $\mathcal{P}_{\alpha\beta}(q)$.

Поляризационный оператор фотона рассматривался в ряде работ [31, 37–47]. В постоянном магнитном поле поляризационный оператор можно представить в виде разложения по базису из собственных векторов [37]. Они могут быть построены из q_α и безразмерного тензора электромагнитного поля, $\varphi_{\alpha\beta} = F_{\alpha\beta}/B$, следующим образом:

$$\begin{aligned} b_\mu^{(1)} &= (\varphi q)_\mu, & b_\mu^{(2)} &= (\tilde{\varphi} q)_\mu, \\ b_\mu^{(3)} &= q^2 (\Lambda q)_\mu - q_\mu q_\perp^2, & b_\mu^{(4)} &= q_\mu, \end{aligned} \quad (29)$$

где $\tilde{\varphi}_{\alpha\beta} = \frac{1}{2}\varepsilon_{\alpha\beta\mu\nu}\varphi^{\mu\nu}$, $\Lambda_{\alpha\beta} = (\varphi\varphi)_{\alpha\beta}$, $\tilde{\Lambda}_{\alpha\beta} = (\tilde{\varphi}\tilde{\varphi})_{\alpha\beta}$, а также вектора $b_\mu^{(\lambda)}$ имеют следующую нормировку:

$$\begin{aligned} (b^{(1)}b^{*(1)}) &= -q_\perp^2, & (b^{(2)}b^{*(2)}) &= -q_\parallel^2, \\ (b^{(3)}b^{*(3)}) &= -q^2 q_\parallel^2, & (b^{(4)}b^{*(4)}) &= q^2. \end{aligned} \quad (30)$$

В системе отсчета, где имеется только магнитное поле \mathbf{B} , направленное вдоль третьей оси, 4-векторы с индексами \perp и \parallel относятся к подпространствам Евклида $\{1, 2\}$ и Минковского $\{0, 3\}$ соответственно. Для произвольных векторов p_μ , q_μ имеем:

$$\begin{aligned} (pq)_\perp &= (p\Lambda q) = p_1 q_1 + p_2 q_2, \\ (pq)_\parallel &= (p\tilde{\Lambda} q) = p_0 q_0 - p_3 q_3 \end{aligned} \quad (31)$$

Собственные векторы и собственные значения поляризационного оператора определяют поляризационные свойства фотонов. При этом физически наблюдаемыми будут три поляризационных состояния фотона, так как моду, соответствующую вектору $b_\mu^{(4)}$, можно устранить с помощью калибровочных преобразований [44].

Строго говоря, поляризационный оператор фотона с учетом плазмы, построенный в виде разложения по векторам (29), уже не будет иметь диагональный вид. Диагональное представление поляризационный оператор примет в базисе собственных векторов $r_\alpha^{(\lambda)}$ в замагниченной плазме с собственными значениями $\mathcal{P}^{(\lambda)}(q)$ [42–44, 48]:

$$\mathcal{P}_{\alpha\beta}(q) = \sum_{\lambda=1}^3 \mathcal{P}^{(\lambda)}(q) \frac{r_\alpha^{(\lambda)}(r_\beta^{(\lambda)})^*}{(r^{(\lambda)})^2}, \quad r_\beta^{(\lambda)} = \sum_{i=1}^3 A_i^{(\lambda)} b_\beta^{(i)}, \quad (32)$$

где $A_i^{(\lambda)}$ – некоторые комплексные коэффициенты.

Однако в случае, когда магнитное поле является наибольшим параметром задачи $\beta \gg T^2, \omega^2$ (т.н. поледоминирующая среда) и присутствует зарядово-симметричная плазма, $\mu = 0$, собственные векторы $r_\alpha^{(\lambda)}$ и собственные значения $\mathcal{P}^{(\lambda)}(q)$ оператора поляризации в плазме, состоящей из электронов и позитронов, находящихся на основном уровне Ландау, в однопетлевом приближении примут вид [44]:

$$r_\alpha^{(1)} = -2q_\perp^2 b_\alpha^{(1)} + O\left(\frac{1}{\beta^2}\right), \quad r_\alpha^{(3)} = O\left(\frac{1}{\beta^2}\right), \quad (33)$$

$$r_\alpha^{(2)} = b_\alpha^{(2)} + O\left(\frac{1}{\beta^2}\right). \quad (34)$$

$$\mathcal{P}^{(1)}(q) = \frac{\alpha}{3\pi} q^2 \mathcal{V} - \frac{\alpha}{3\pi} q_\perp^2 + O\left(\frac{1}{\beta^2}\right), \quad (35)$$

$$\mathcal{P}^{(2)}(q) = \frac{\alpha}{3\pi} q^2 \mathcal{V} + \frac{2\alpha}{\pi} \beta \mathcal{D} + O\left(\frac{1}{\beta}\right). \quad (36)$$

$$\mathcal{P}^{(3)}(q) = O\left(\frac{1}{\beta^2}\right), \quad (37)$$

где

$$\mathcal{D} = -\mathcal{J}_1(q_\parallel) - H\left(\frac{q_\parallel^2}{4m_e^2}\right), \quad (38)$$

$$\mathcal{J}_1(q_\parallel) = 2q_\parallel^2 m_e^2 \int_{-\infty}^{\infty} \frac{dp_z}{E} \frac{f_-(p) + f_+(p)}{q_\parallel^4 - 4(pq_\parallel)^2}, \quad (39)$$

$$H(z) = \frac{1}{\sqrt{z(1-z)}} \operatorname{arctg} \sqrt{\frac{z}{1-z}} - 1, \quad 0 \leq z \leq 1, \quad (40)$$

$$\begin{aligned} H(z) = & -\frac{1}{2\sqrt{z(z-1)}} \ln \frac{\sqrt{z} + \sqrt{z-1}}{\sqrt{z} - \sqrt{z-1}} - 1 + \\ & + \frac{i\pi}{2\sqrt{z(z-1)}}, \quad z > 1, \end{aligned} \quad (41)$$

$f_{\pm}(p) = [\exp(E/T) - 1]^{-1}$ – функция распределения электронов и позитронов плазмы при $\mu = 0$,

$$\mathcal{V} = \ln(B/B_e) - 1.792 + \frac{3}{2} \int_0^1 dx (1 - x^2) \ln \left[1 - \frac{q^2}{4m_e^2} (1 - x^2) \right]. \quad (42)$$

Такие условия имеют место в большинстве моделей магнитосфер радиопульсаров и магнитаров [49].

Из выражений (33)–(37) следует, что фотон в пределе сильного магнитного поля, а также зарядово-симметричной плазмы будет описываться такими же векторами поляризации, как и в магнитном поле без плазмы. С учетом нормировки векторы поляризации будут выглядеть следующим образом:

$$\begin{aligned} \varepsilon_{\alpha}^{(1)}(q) &= \frac{r_{\alpha}^{(1)}}{\sqrt{|(r^{(1)} r^{*(1)})|}} = \frac{(q\varphi)_{\alpha}}{\sqrt{q_{\perp}^2}}, \\ \varepsilon_{\alpha}^{(2)}(q) &= \frac{r_{\alpha}^{(2)}}{\sqrt{|(r^{(2)} r^{*(2)})|}} = \frac{(q\tilde{\varphi})_{\alpha}}{\sqrt{q_{\parallel}^2}}. \end{aligned} \quad (43)$$

Эти поляризационные состояния мы будем называть мода 1 и мода 2 соответственно. В литературе используются разные обозначения для этих мод. Например, в работе [50] это моды \parallel и \perp в чистом магнитном поле, в работе [51] эти состояния соответствуют Х- и О-модам, а в работе [2] – Е- и О-модам. В пределе $\omega \ll m_e$ после надлежащих преобразований (выделение пространственной части вектора $\varepsilon_{\alpha}^{(2)}$ и переход к системе координат, где вектор импульса фотона направлен вдоль оси z) эти моды переходят в векторы поляризации, представленные в работе [52].

Как известно [44], закон дисперсии для фотона моды 1 в пределе сильного магнитного поля мало отличается от закона дисперсии в замагниченном вакууме $q^2 = 0$. С другой стороны, для фотона моды 2 дисперсия будет значительно отличаться от вакуумного закона дисперсии и будет определяется соотношением

$$q^2 - \mathcal{P}^{(2)}(q) = 0. \quad (44)$$

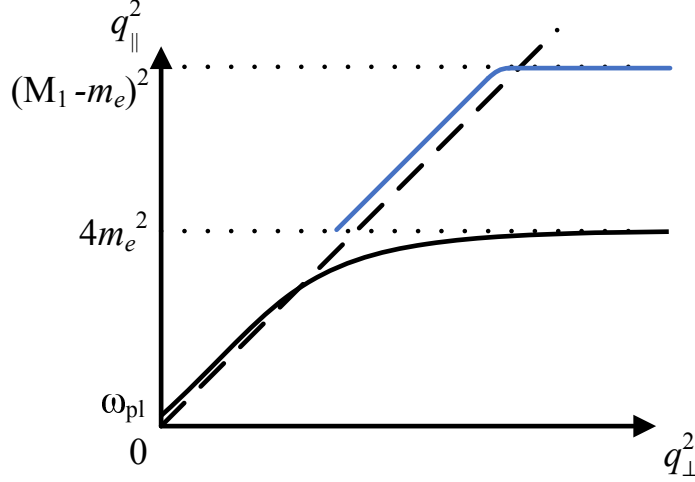


Рис. 1: Закон дисперсии моды 2 в зарядово-симметричной плазме в пределе сильного магнитного поля, $B \gtrsim B_e$, изображен сплошными линиями. Штриховой линией изображен вакуумный закон дисперсии, который практически соответствует дисперсии моды 1. Дисперсионные кривые следует продолжить схожим образом на область $q_{\parallel}^2 > (M_1 - m_e)^2$.

Также следует отметить, что закон дисперсии значительно отличается от вакуумного для моды 1 и 2 в окрестности так называемых циклотронных резонансов:

$$q_{\parallel}^2 = (M_n \pm M_{n'})^2 \quad (45)$$

из-за наличия корневых сингулярностей в собственных значениях поляризационного оператора, $\mathcal{P}^{(\lambda)}(q)$ (за исключением точки $q_{\parallel}^2 = 4m_e^2$ для моды 1). Поэтому в этих областях становится важным учет радиационных поправок к собственным значениям поляризационного оператора в замагниченной плазме. Этот учет приводит к перенормировке волновых функций фотона

$$\varepsilon_{\alpha}^{(\lambda)}(q) \rightarrow \varepsilon_{\alpha}^{(\lambda)} \sqrt{Z_{\lambda}}, \quad Z_{\lambda}^{-1} = 1 - \frac{\partial \mathcal{P}^{(\lambda)}(q)}{\partial \omega^2}. \quad (46)$$

Проведенный анализ позволяет качественно изобразить дисперсию фотона моды 2 (см. рис. 1). Следует отметить, что в плазме существует область с $q^2 > 0$ ниже первого циклотронного резонанса $q_{\parallel}^2 = 4m_e^2$. Это связано с наличием плазменной частоты у электронов и позитронов среды, которую можно определить из дисперсионного уравнения 44:

$$\omega_{pl}^2 - \mathcal{P}^{(2)}(\omega_{pl}, \mathbf{k} \rightarrow 0) = 0. \quad (47)$$

Наличие плазменной частоты приводит к изменению кинематики процессов, например, становится кинематически возможен канал расщепления фотона $\gamma_2 \rightarrow \gamma_1 \gamma_1$ в то время, как каналы $\gamma_1 \rightarrow \gamma_1 \gamma_2$, $\gamma_2 \rightarrow \gamma_2 \gamma_2$ в плазме подавлены [53]. Для фотона моды 1 значение ω_{pl} также присутствует, но оно пренебрежимо мало.

В результате пропагатор в координатном пространстве можно представить следующим образом:

$$G_{\mu\nu}(x) = \int \frac{d^4 q}{(2\pi)^4} G_{\mu\nu}(q) e^{-iqx}, \quad (48)$$

где

$$G_{\mu\nu}(q) = \sum_{\lambda=1}^3 \frac{b_{\mu}^{(\lambda)} b_{\nu}^{(\lambda)}}{(b^{(\lambda)})^2} \cdot \frac{1}{q^2 - \mathcal{P}^{(\lambda)}(q)} \quad (49)$$

– фурье-образ пропагатора. Таким образом, поведение пропагатора фотона определяется аналитическими свойствами поляризационного оператора.

4 Резонансные двухвершинные процессы

4.1 Резонанс на виртуальном фотоне.

4.2 Резонанс на виртуальном электроне (фермионе).

Интерес к изучению комптоновского рассеяния в сильном магнитном поле первоначально был вызван неожиданным открытием циклотронных спектральных линий у двойных рентгеновских пульсаров [54–56], которые изначально интерпретировались либо как циклотронное поглощение ², либо как циклотронное излучение [54]. Дальнейшее повышение разрешения детекторов по энергии позволило уверенно заключить, что циклотронные особенности связаны именно с поглощением [57]. Циклотронным резонансом называется резкое увеличение сечения рассеяния по сравнению с томсоновским значением, $\sigma_T = 8\pi\alpha^2/(3m_e^2)$. Сечение комптоновского рассеяния в магнитном поле

²Под поглощением подразумеваются элементарные процессы, изменяющие состояние фотона: поглощение электроном, комптоновский процесс и тд.

без плазмы в нерелятивистском пределе имеет один резонансный пик при энергии фотона [58]:

$$\omega_B \simeq \frac{eB}{m_e}. \quad (50)$$

В работе [58] также было показано, что сечение рассеяния значительно зависит как от поляризации фотона, так и от угла между направлением магнитного поля и импульса начального фотона. В последовавшей за ней статье [59] исследовалось изменение частоты фотона, кратное циклотронной частоте ω_B (50), при рассеянии фотона на электроне. В том же формализме работы [58] результаты для полного сечения рассеяния были получены в [60, 61].

Новым импульсом к исследованию процесса послужило обнаружение объектов, которые могут быть ассоциированы с магнитарами. Однако при значениях поля $B > 10^{12}$ Гс учет релятивистских эффектов, как было показано в работах [62, 63], становится существенным.

В данных работах предполагалось, что начальный и конечные электроны находятся на основном уровне Ландау, что имеет смысл в пределе сильного магнитного поля. В этом пределе первый резонансный пик смещается в более низкие энергии фотона, а также имеется бесконечный ряд резонансных пиков для разных уровней Ландау n промежуточного состояния, которые наблюдаются при энергиях фотона

$$\omega_n(\theta) = \frac{\sqrt{m^2 + 2n\beta \sin^2 \theta} - m}{\sin^2 \theta}, \quad (51)$$

где θ – угол между импульсом начального фотона и направлением магнитного поля. В результате комптоновского процесса могут возбуждаться высшие уровни Ландау конечного электрона, что в свою очередь может выступать механизмом рождения фотонов малых энергий, поэтому для случая, когда конечный электрон может занимать высшие уровни Ландау рассматривался в работах [64, 65] для магнитных полей $B \lesssim B_e$. Дальнейшее исследование комптоновского процесса отражено в [25], где было получено более простое

выражение для сечения в ультрарелятивистском пределе, который актуален для магнитных полей $B > 0.1B_e$.

В результатах, полученных в этих работах, сечение рассеяния становится бесконечным на циклотронных резонансах вследствие предположения о большом времени жизни виртуальных частиц, поэтому они справедливы только в нерезонансной области энергии фотонов. Для точного вычисления сечения комптоновского рассеяния вблизи циклотронных резонансов требуется ввести полную ширину изменения состояния электрона. В нерелятивистском пределе [58] присутствует лишь одна резонансная частота и сечение не зависит от спина, поэтому ввести полную ширину относительно просто [66]. Однако на высоких энергиях с учетом сильного магнитного поля, требуется использовать релятивистскую квантовую электродинамику. В результате выражение для сечения становится очень громоздким, поскольку имеется бесконечное число резонансов, содержащихся в сумме по всем промежуточным виртуальным состояниям.

Изначально для учета конечных резонансных пиков использовались усредненные по спину ширины распада [25]. Как было указано в работе [29], такой подход не является точным, поскольку усреднение по спину некорректно учитывает спиновую зависимость временного распада, что приводит к неверному значению в точке резонанса. Сечение рассеяния с шириной распада виртуальных промежуточных состояний, учитывающее зависимость от спина, было представлено в работе [51]. Однако полное сечение комптоновского рассеяния представляет собой громоздкое выражение, что затрудняет использование его, например, в моделях переноса излучения. Для решения этой задачи было выполнено множество упрощений. Так, в работе [25] была использована аппроксимация сечения рассеяния с учетом резонанса в ультрарелятивистском пределе для случая сильного магнитного поля $B > 0.1B_e$. В точке циклотронного резонанса виртуальный электрон становится реальным, поэтому комптоновское рассеяние становится процессом первого порядка. В работе [23] исследовался вопрос аппроксимации комптоновского сечения с помощью одно-

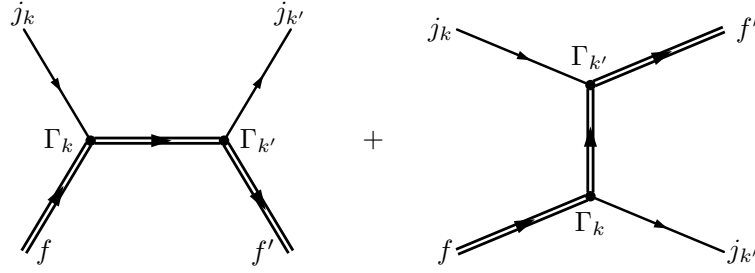


Рис. 2: Диаграммы Фейнмана для реакции $jf \rightarrow j'f'$. Двойные линии означают, что влияние внешнего поля на начальное и конечное состояния фермионов и на фермионный пропагатор учтено точно.

вершинного процесса поглощения для магнитных полей $B \sim 0.1B_e$. Различие между одновершинным процессом поглощения и комптоновским процессом становится существенным на высших циклотронных резонансах из-за вклада нерезонансного рассеяния. Особенно существенно это при малых углах между импульсом фотона и направлением магнитного поля, поскольку в этом случае резонансы уширяются. Также в сильных магнитных полях аппроксимация одновершинным процессом работает хуже, так как высота резонансов убывает с увеличением его номера.

Иной подход к аналитическому рассмотрению комптоновского процесса с учетом резонанса на виртуальном электроне является предположение узкого резонансного пика. Такой метод рассматривался в работе [67]. Как было показано в данной работе, предположение узкого резонансного пика позволяет аппроксимировать область резонанса дельта-функцией, что позволяет упростить, например, решение задачи переноса излучения.

Эффективный лагранжиан для обширного класса взаимодействий фермиона f с обобщенными токами j можно найти в работе [68]. Так как в данном разделе будет рассматриваться комптоновский процесс рассеяния фотона на электроне, то необходимо построить лагранжиан электромагнитного взаимодействия:

$$\mathcal{L}(X) = -e[\bar{\psi}_f(X)\gamma^\mu A_\mu^{(\lambda)}(X)\psi_f(X)]; \quad (52)$$

Комптоновский процесс в древесном приближении описывается диаграм-

мами Фейнмана, представленными на рис. 2. Соответствующий S -матричный элемент, с учетом лагранжиана (52) может быть представлен в виде:

$$S_{\gamma^{(\lambda)}e \rightarrow \gamma^{(\lambda')}e'}^{s's} = -e^2 \int d^4X d^4Y A_\mu^{(\lambda)}(X) A_{\mu'}^{(\lambda')}(Y) \left[\bar{\Psi}_{p',\ell'}^{s'}(Y) \gamma_{\mu'} S(Y, X) \gamma_\mu \Psi_{p,\ell}^s(X) \right] + \\ + (A_\mu^{(\lambda)}, \gamma_\mu \leftrightarrow A_{\mu'}^{(\lambda')}, \gamma_{\mu'}) . \quad (53)$$

Здесь $p^\mu = (E_\ell, \mathbf{p})$ и $p'^\mu = (E'_{\ell'}, \mathbf{p}')$ - четырехмерные векторы энергии-импульса начального и конечного фермиона, находящихся на произвольных уровнях Ландау ℓ и ℓ' соответственно, $\Psi_{p,\ell}^s(X)$ - волновые функции фермионов в присутствии внешнего магнитного поля 10, s и s' обозначают поляризационные состояния начального и конечного фермиона соответственно, $S(Y, X)$ - пропагатор фермиона во внешнем магнитном поле 23.

Токи $A_\mu^{(\lambda)}(X)$ и $A_{\mu'}^{(\lambda')}(Y)$, в свою очередь, удобно представить в виде плосковолновых решений с амплитудами $\varepsilon_\mu^{(\lambda)}(q)$ и $\varepsilon_{\mu'}^{(\lambda')}(q')$:

$$A_\mu^{(\lambda)}(X) = \frac{e^{-i(qX)}}{\sqrt{2q_0V}} \varepsilon_\mu^{(\lambda)}(q), \quad q^\alpha = (q_0, \mathbf{q}), \quad (54)$$

$$A_{\mu'}^{(\lambda')}(Y) = \frac{e^{i(q'Y)}}{\sqrt{2q'_0V}} \varepsilon_{\mu'}^{(\lambda')}(q'), \quad q'^\alpha = (q'_0, \mathbf{q}'), \quad (55)$$

где $V = L_x L_y L_z$ - нормировочный объем.

С учетом этих замечаний, подставим решения (10), фурье-образы токов (54), пропагатор (23) в (53). Проинтегрировав полученный результат по $dX_0 dX_2 dX_3$ и $dY_0 dY_2 dY_3$, представим S -матричный элемент в следующем виде:

$$\mathcal{S}_{\gamma^{(\lambda)}e \rightarrow \gamma^{(\lambda')}e'}^{s's} = \frac{i(2\pi)^3 \delta_{0,y,z}^{(3)}(P - p' - q')}{\sqrt{2q_0V 2q'_0V 2E_\ell L_y L_z 2E'_{\ell'} L_y L_z}} \mathcal{M}_{\gamma^{(\lambda)}e \rightarrow \gamma^{(\lambda')}e'}^{s's}, \quad (56)$$

где $\delta_{0,y,z}^{(3)}(P - p' - q') = \delta(P_0 - E'_{\ell'} - q'_0) \delta(P_y - p'_y - q'_y) \delta(P_z - p'_z - q'_z)$,

$$\begin{aligned}
\mathcal{M}_{\gamma^{(\lambda)}e \rightarrow \gamma^{(\lambda')}e'}^{s's'} &\simeq ie^2 \varepsilon_{\mu'}^{(\lambda')}(q') \varepsilon_{\mu}^{(\lambda)}(q) \sum_{n=0}^{\infty} \sum_{s''} \int dX_1 dY_1 e^{-iX_1 q_x + iY_1 q'_x} \times \quad (57) \\
&\times \frac{\bar{\phi}_{p',\ell'}^{s'}(Y_1) \gamma_{\mu'} \phi_{P,n}^{s''}(Y_1) \bar{\phi}_{P,n}^{s''}(X_1) \gamma_{\mu} \phi_{p,\ell}^s(X_1)}{P_{\parallel}^2 - M_n^2 + i \Im_{\Sigma}^{s''}(P)} + \\
&+ (\varepsilon_{\mu}^{(\lambda)}(q), \gamma_{\mu}, P, q \leftrightarrow \varepsilon_{\mu'}^{(\lambda')}(q'), \gamma_{\mu'}, P', -q'),
\end{aligned}$$

$$P_{\alpha} = (p + q)_{\alpha}, \quad P'_{\alpha} = (p - q')_{\alpha}, \quad \alpha = 0, 2, 3.$$

Обсудим, при каких условиях амплитуда (57) будет иметь резонансный характер. Если выполняется условие $\ell, \ell' \geq n$, то в этом случае у пропагатора фермиона существуют полюс, соответствующий тому, что виртуальная частица становится реальной, то есть выполняется равенство $P_{\parallel}^2 - M_n^2 = 0$. При условии $\ell, \ell' < n$ полюса, отвечающие за резонансы в пропагаторе, отсутствуют и резонанс на виртуальном фермионе не наблюдается. Кроме того, кинематический анализ показывает, что вблизи первых циклотронных резонансов основной вклад в амплитуду процесса $jf \rightarrow j'f'$ будет давать только первая диаграмма.

Для анализа эффективности различных процессов удобно использовать коэффициент поглощения – вероятность перехода за счёт тех или иных процессов, который для комптоновского процесса был определен, например, в работе [69]:

$$\begin{aligned}
W_{\gamma^{(\lambda)}e \rightarrow \gamma^{(\lambda')}e} &= \frac{\beta}{16(2\pi)^4 \omega_{\lambda}} \int |\mathcal{M}_{\lambda \rightarrow \lambda'}|^2 Z_{\lambda} Z_{\lambda'} \times \quad (58) \\
&\times f_E [1 - f_{E'}] (1 + f_{\omega'}) \delta(\omega_{\lambda}(\mathbf{k}) + E - \omega_{\lambda'}(\mathbf{k}') - E') \frac{dp_z d^3 k'}{E E' \omega_{\lambda'}},
\end{aligned}$$

В относительно недавней работе [51] исследовался процесс комптоновского рассеяния в магнитных полях, характерных для магнитосфер радиопульсаров и магнитаров $10^{12} - 10^{15}$ Гс. В данной работе был представлен S -матричный элемент и рассчитано сечение рассеяния при условии, что начальный и конечный электроны находятся на основном уровне Ландау. При

расчетах учитывался резонанс на виртуальном электроны с учетом пика конечной ширины, полученной с использованием корректных решений уравнения Дирака (10).

Следуя авторам [51], введем сечение процесса $\gamma e \rightarrow \gamma e$, просуммированное по поляризациям конечного фотона, а также проинтегрированное по начальным электронам, с функцией распределения $f_-(E_\ell)$ при $\mu = 0$, следующим образом:

$$\sigma_\lambda^* = \frac{1}{\overline{N}_e} \int \frac{dW_{\gamma^{(\lambda)}e \rightarrow \gamma e}}{j}, \quad (59)$$

где $j = |(p\tilde{\Lambda}q)|/(E\omega V)$ – плотность потока падающих частиц в продольном по отношению к магнитному полю подпространстве,

$$\overline{N}_e = \frac{N_e}{\beta m} = \frac{1}{(2\pi)^2} \sum_{\ell=0}^{\infty} (2 - \delta_{\ell,0}) \int_{-\infty}^{\infty} \frac{dp_z}{m} f_-(E_\ell), \quad (60)$$

N_e – концентрация электронов во внешнем магнитном поле. Согласно рисунку 1 раздела 3 для рассматриваемых параметров магнитного поля и плазмы, можно считать, что закон дисперсии как моды 1, так и моды 2 мало отличается от вакуумного. В таком случае параллельную магнитному полю компоненту импульса фотона можно положить $k_z = \omega \sin \theta$, где θ – угол между импульсом фотона и направлением магнитного поля. Как уже отмечалось в разделе 3, перенормировка волновых функций фотонов становится существенной вблизи циклотронных резонансов $q_\parallel^2 \simeq (M_n + M_\ell)^2$, однако при значении магнитного поля $B \simeq 10^{12}$ Гс можно считать, что $Z_{1,2} \simeq 1$.

Результаты численного анализа отношения $\sigma_\lambda^*/\sigma_T$, представлены на рис. 3–4. Исходя из полученных результатов работы [51], можно с уверенностью сказать, что форма резонансных пиков достаточно сильно зависят от угла начального фотона по отношению к магнитному полю – ширина резонансных пиков увеличивается с уменьшением угла θ между импульсом фотона и направлением магнитного поля.

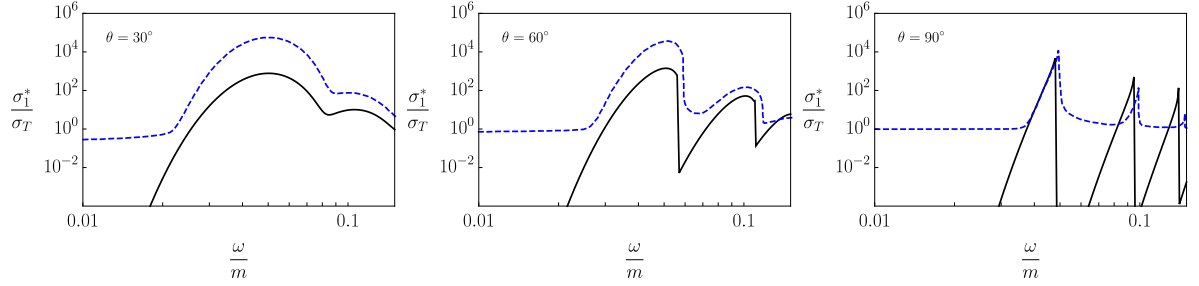


Рис. 3: Сравнение сечения (в единицах σ_T) рассеяния фотона моды 1, $e\gamma^{(1)} \rightarrow e\gamma$, полученном в работе [51] (пунктирная линия) и δ -функциональном приближении (сплошная линия) для различных углов θ между импульсом начального фотона и направлением магнитного поля (значения изображены на графиках). $B = 2.2 \times 10^{12}$ Гс, $T = 20$ кэВ, $\mu = 0$. Начальные и конечные электроны находятся на основном уровне Ландау.

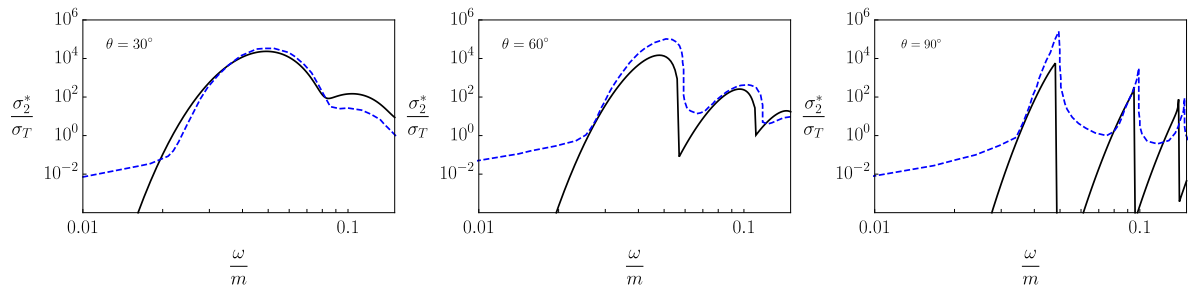


Рис. 4: Сравнение сечения (в единицах σ_T) рассеяния фотона моды 2, $e\gamma^{(2)} \rightarrow e\gamma$, полученном в работе [51] (пунктирная линия) и δ -функциональном приближении (сплошная линия) для различных углов θ между импульсом фотона и направлением магнитного поля. $B = 2.2 \times 10^{12}$ Гс, $T = 20$ кэВ, $\mu = 0$. Все начальные и конечные электроны находятся на основном уровне Ландау.

- 4.3 Резонанс на виртуальном электро́не и виртуальном фото́не.
- 5 Сингулярности в фазовых объемах одновершинных процессов и методы их устранения.
- 6 Заключение

Список литературы

- [1] Thompson C., Duncan R. C. The soft gamma repeaters as very strongly magnetized neutron stars - I. Radiative mechanism for outbursts // Mon. Not. Roy. Astron. Soc. 1995. Vol. 275. P. 255–300.
- [2] Thompson C., Duncan R. C. The soft gamma repeaters as very strongly magnetized neutron stars. II. Quiescent neutrino, X-Ray, and Alfven wave emission // Astrophys. J. 1996. Vol. 473. P. 322–342.
- [3] Thompson C., Lyutikov M., Kulkarni S. R. Electrodynamics of magnetars: implications for the persistent x-ray emission and spindown of the soft gamma repeaters and anomalous x-ray pulsars // Astrophys. J. 2002. Vol. 574, no. 1. P. 332–355.
- [4] Кузнецов А. В., Михеев М. В. Взаимодействие нейтрино с сильно замагниченной электрон-позитронной плазмой // ЖЭТФ. 2000. Т. 118, № 4. С. 863–876.
- [5] Бисноватый-Коган Г. С., Чечеткин В. М. Неравновесные оболочки нейтронных звезд, их роль в поддержании рентгеновского излучения и нуклеосинтезе // Усп. физ. наук. 1979. Т. 127, № 2. С. 263–296.
- [6] Kouveliotou C. et al. An X-ray pulsar with a superstrong magnetic field in the soft gamma-ray repeater SGR 1806-20. // Nature. 1998. Vol. 393. P. 235–237.
- [7] Kouveliotou C., Strohmayer T., Hurley K. et al. Discovery of a magnetar associated with the soft gamma repeater SGR 1900+14 // Astrophys. J. 1999. Vol. 510. P. L115–118.
- [8] Gavriil F. P., Kaspi V. M., Woods P. M. Magnetar - like x-ray bursts from an anomalous x-ray pulsar // Nature. 2002. Vol. 419. P. 142–144.

- [9] Ibrahim A. I., Safi-Harb S., Swank J. H. et al. Discovery of cyclotron resonance features in the soft gamma repeater SGR 1806-20 // *Astrophys. J.* 2002. Vol. 574. P. L51–L55.
- [10] Ibrahim A. I., Swank J. H., Parke W. New evidence for proton cyclotron resonance in a magnetar strength field from SGR 1806-20 // *Astrophys. J.* 2003. Vol. 584. P. L17–L22.
- [11] Olausen S. A., Kaspi V. M. The McGill magnetar catalog // *Astrophys. J. Suppl.* 2014. Vol. 212, no. 1. P. 6.
- [12] Melrose D. B., Parle A. J. Quantum electrodynamics in strong magnetic fields. I Electron States // *Aust. J. Phys.* 1983. Vol. 36. P. 755–774.
- [13] Соколов А. А., Тернов И. М. Релятивистский электрон. Москва: Наука, 1983. 304 с.
- [14] Kuznetsov A. V., Mikheev N. V. Electroweak processes in external electromagnetic fields. New York: Springer-Verlag, 2003. 120 p.
- [15] Bhattacharya K., Pal P. B. Inverse beta decay of arbitrarily polarized neutrons in a magnetic field // *Pramana J. Phys.* 2004. Vol. 62. P. 1041–1058.
- [16] Balantsev I. A., Popov Yu. V., Studenikin A. I. On the problem of relativistic particles motion in strong magnetic field and dense matter // *J. Phys.* 2011. Vol. A44. P. 255301 (1–13).
- [17] Kuznetsov A., Mikheev N. Electroweak processes in external active media. 2013. Vol. 252. P. pp 1–271.
- [18] Johnson M. H., Lippmann B. A. Motion in a constant magnetic field // *Physical Review.* 1949. Vol. 76, no. 6. P. 828–832.
- [19] Соколов А. А., Тернов И. М. Синхротронное излучение. М.: Наука, 1966. 228 с.

- [20] Пескин М., Шредер Д. Введение в квантовую теорию поля. Ижевск: РХД, 2001. 784 с.
- [21] Ландау Л. Д., Лифшиц Е. М. Квантовая механика. Нерелятивистская теория. Москва: Наука, 1989. 768 с.
- [22] Canuto V. Quantum processes in strong magnetic fields // Ann. N. Y. Acad. Sci. 1975. Vol. 257, no. 1. P. 108–126.
- [23] Harding A. K., Daugherty J. K. Cyclotron Resonant Scattering and Absorption // Astrophys. J. 1991. Vol. 374. P. 687–699.
- [24] Suh I.-S., Mathews G. J. Weak reaction freeze-out constraints on primordial magnetic fields // Phys. rev. D. 1999. Vol. 59, no. 12. P. 123002.
- [25] Gonthier P. L., Harding A. K., Baring M. G. et al. Compton Scattering in Ultrastrong Magnetic Fields: Numerical and Analytical Behavior in the Relativistic Regime // Astrophys. J. 2000. Vol. 540, no. 2. P. 907–922.
- [26] Jones P. B. Electron-positron bremsstrahlung and pair creation in very high magnetic fields // Mon. Not. Roy. Astron. Soc. 2010. Vol. 409, no. 4. P. 1719–1727.
- [27] Melrose D. B. Quantum kinetic theory for unmagnetized and magnetized plasmas // Rev. Mod. Plasma Phys. 2020. Vol. 4, no. 8.
- [28] Graziani C. Strong-Field Cyclotron Scattering. I. Scattering Amplitudes and Natural Line Width // Astrophys. J. 1993. Vol. 412. P. 351–362.
- [29] Gonthier P. L., Baring M. G., Eiles M. T. et al. Compton scattering in strong magnetic fields: Spin-dependent influences at the cyclotron resonance // Phys. Rev. 2014. Vol. D90, no. 4. P. 043014.
- [30] Градштейн И. С., Рыжик И. М. Таблицы интегралов, сумм, рядов и произведений. Москва: Гос. изд-во физ.-мат. лит., 1963. 1108 с.

- [31] Schwinger J. On Gauge Invariance and Vacuum Polarization // Phys. Rev. 1951. — Jun. Vol. 82. P. 664–679.
- [32] Ритус В. И. Радиационные эффекты и их усиление в интенсивном электромагнитном поле // ЖЭТФ. 1969. Т. 57, № 6. С. 2176–2188.
- [33] Jancovici B. Radiative Correction to the Ground-State Energy of an Electron in an Intense Magnetic Field // Phys. Rev. 1969. Vol. 187. P. 2275–2276.
- [34] Борисов А. В., Вшивцев А. С., Жуковский В. Ч., Эминов П. А. Фотоны и лептоны во внешних полях при конечных температуре и плотности // УФН. 1997. Т. 167, № 3. С. 241–267.
- [35] Жуковский В. Ч., Мидодашвили П. Г., Эминов П. А. Мнимая часть массового оператора электрона в постоянном поле при конечной температуре и плотности // Журн. эксперим. и теор. физ. 1994. Т. 106, № 4. С. 929–935.
- [36] Weldon H. A. Simple rules for discontinuities in finite temperature Field Theory // Phys. Rev. 1983. Vol. D28. P. 2007–2037.
- [37] Баталин И. А., Шабад А. Е. Функция Грина фотона в постоянном однородном электромагнитном поле общего вида // ЖЭТФ. 1971. Т. 60, № 3. С. 894–900.
- [38] Tsai W. Y. Vacuum polarization in homogeneous magnetic fields // Phys. Rev. 1974. Vol. D10, no. 8. P. 2699–2702.
- [39] Скобелев В. В. Поляризационный оператор фотона в сверхсильном магнитном поле // Изв. вузов. Физика. 1975. № 10. С. 142–143.
- [40] Melrose D. B., Stoneham R. J. Vacuum polarization and photon propagation in a magnetic field // Nuovo Cimento A Serie. 1976. Vol. 32, no. 4. P. 435–447.

- [41] Urrutia L. F. Vacuum polarization in parallel homogeneous electric and magnetic fields // Phys. Rev. D. 1978. — Apr. Vol. 17. P. 1977–1984.
- [42] Перес Рохас У. Поляризационный оператор электрон-позитронного газа в постоянном внешнем магнитном поле // ЖЭТФ. 1979. Т. 76, № 1. С. 3–17.
- [43] Peres Rojas H., Shabad A. E. Absorption and dispersion of electromagnetic eigenwaves of electron-positron plasma in a strong magnetic field // Ann. Phys. (N.Y.). 1982. Vol. 138. P. 1–35.
- [44] Шабад А. Е. Поляризация вакуума и квантового релятивистского газа во внешнем поле // Тр. ФИАН СССР “Поляризационные эффекты во внешних калибровочных полях”. 1988. Т. 192. С. 5–152.
- [45] Schubert C. Vacuum polarisation tensors in constant electromagnetic fields: Part I // Nuclear Physics B. 2000. Vol. 585, no. 1. P. 407–428.
- [46] Hattori K., Itakura K. Vacuum birefringence in strong magnetic fields: (I) Photon polarization tensor with all the Landau levels // Annals of Physics. 2013. Vol. 330. P. 23–54.
- [47] Karbstein F. Photon polarization tensor in a homogeneous magnetic or electric field // Phys. Rev. D. 2013. Vol. 88, no. 8. P. 085033.
- [48] Михеев Н. В., Румянцев Д. А., Чистяков М. В. Фоторождение нейтрино на электроны в плотной замагниченной среде // ЖЭТФ. 2014. Т. 146, № 2. С. 289–296.
- [49] Beloborodov A. M., Thompson C. Corona of magnetars // Astrophys. J. 2007. Vol. 657, no. 2. P. 967–993.
- [50] Adler S. L. Photon splitting and photon dispersion in a strong magnetic field. // Annals of Physics. 1971. Vol. 67. P. 599–647.

- [51] Mushtukov A. A., Nagirner D. I., Poutanen J. Compton scattering S-matrix and cross section in strong magnetic field // *Phys. Rev.* 2016. Vol. D93, no. 10. P. 105003.
- [52] Potekhin A. Y., Lai D., Chabrier G., Ho W. C. G. Electromagnetic Polarization in Partially Ionized Plasmas with Strong Magnetic Fields and Neutron Star Atmosphere Models // *The Astrophysical Journal*. 2004. — sep. Vol. 612, no. 2. P. 1034.
- [53] Румянцев Д. А., Чистяков М. В. Влияние сильно замагниченной плазмы на процесс расщепления фотона // *ЖЭТФ*. 2005. Т. 128, № 4. С. 740–751.
- [54] Truemper J., Pietsch W., Reppin C. et al. Evidence for strong cyclotron line emission in the hard X-ray spectrum of Hercules X-1 // *Astrophys. J.* 1978. Vol. 219. P. L105–L110.
- [55] Makishima K., Mihara T., Ishida M., et al. Discovery of a prominent cyclotron absorption feature from the transient X-ray pulsar X0331 + 53 // *Astrophys. J. Lett.* 1990. Vol. 365. P. L59–L62.
- [56] Grove J. E., Strickman M. S., Johnson W. N., et al. The soft gamma-ray spectrum of A0535+26: Detection of an absorption feature at 110 keV by OSSE // *Astrophys. J. Lett.* 1995. Vol. 438. P. L25–L28.
- [57] Mihara T., Makishima K., Ohashi T. et al. New observations of the cyclotron absorption feature in Hercules X-1 // *Nature*. 1990. Vol. 346. P. 250–252.
- [58] Canuto V., Lodenquai J., Ruderman M. Thomson Scattering in a Strong Magnetic Field // *Phys. Rev. D*. 1971. Vol. 3. P. 2303–2308.
- [59] Гнедин Ю. Н., Сюняев Р. А. Рассеяние излучения на тепловых электронах в магнитном поле // *Журн. эксперим. и теор. физ.* 1973. Т. 65, № 1. С. 102.

- [60] Borner G., Mészáros P. Classical calculation of Thomson cross-sections in the presence of a strong magnetic field // Plasma Phys. 1979. Vol. 21, no. 4. P. 357.
- [61] Ventura J. Scattering of light in a strongly magnetized plasma // Phys. Rev. 1979. Vol. D19. P. 1684–1695.
- [62] Herold H. Compton and Thomson scattering in strong magnetic fields // Phys. Rev. 1979. Vol. D19. P. 2868.
- [63] Melrose D. B., Parle A. J. Quantum Electrodynamics in Strong Magnetic Fields III. Electron-photon interactions // Aust. J. Phys. 1983. Vol. 36. P. 799.
- [64] Daugherty J. K., Harding A. K. Compton Scattering in Strong Magnetic Fields // Astrophys. J. 1986. Vol. 309. P. 362.
- [65] Bussard R. W., Alexander S. B., Meszaros P. One- and two-photon Compton scattering in strong magnetic fields // Phys. Rev. D. 1986. Vol. 34. P. 440–451.
- [66] Daugherty J. K., Harding A. K. Comptonization of Thermal Photons by Relativistic Electron Beams // Astrophys. J. 1989. Vol. 336. P. 861.
- [67] Румянцев Д. А., Шленев Д. М., Ярков А. А. Резонансы в комптоноподобных процессах рассеяния во внешней замагниченной среде // ЖЭТФ. 2017. Т. 152, № 3. С. 483–494.
- [68] Kuznetsov A. V., Rumyantsev D. A., Shlenev D. M. Generalized two-point tree-level amplitude $jf \rightarrow j'f'$ in a magnetized medium // Int. J. Mod. Phys. 2015. Vol. A30, no. 11. P. 1550049.
- [69] Chistyakov M. V., Rumyantsev D. A. Compton effect in strongly magnetized plasma // Int. J. Mod. Phys. 2009. Vol. A24. P. 3995–4008.